

## Лабораторная работа 2.07 (6)

### Исследование вынужденных колебаний в колебательном контуре



$$R1 = 75.0 \text{ м}$$

$$L2 = 100 \text{ мГн}$$

# Работа ФПЭ-II. ИЗУЧЕНИЕ ВЫНУЖДЕННЫХ КОЛЕБАНИЙ В КОЛЕБАТЕЛЬНОМ КОНТУРЕ

**Цель работы:** изучение зависимости тока в колебательном контуре от частоты источника ЭДС, включенного в контур, и измерение резонансной частоты контура.

## ВВЕДЕНИЕ

Рассмотрим процессы, протекающие в колебательном контуре, подключенном к источнику, ЭДС которого изменяется по гармоническому закону:

$$E = E_0 \cos \Omega t, \quad (II.1)$$

где  $V$  - напряжение на конденсаторе емкости  $C$ ;  $I$  - ток в контуре.

Полагаем, что мгновенные значения токов и напряжений удовлетворяют законам, установленным для цепей постоянного тока. Такие токи называются квазистационарными. В любой момент времени сумма падений напряжения на элементах цепи равна ЭДС (рис. II.1):

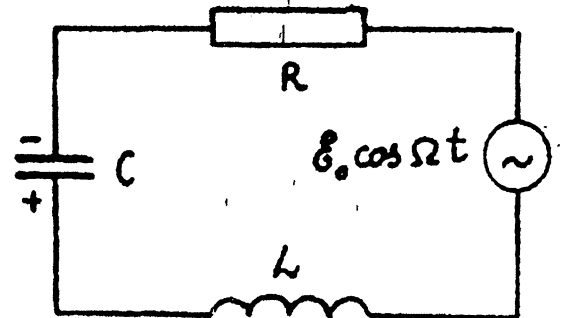


Рис. II.1

$$U_L + IR + V = E \cos \Omega t. \quad (II.2)$$

Падение напряжения на катушке индуктивностью  $L$

$$U_L = -E_i = L \frac{dI}{dt}, \quad (II.3)$$

ток в катушке и в контуре

$$I = \frac{dq}{dt} = \frac{d}{dt} (CV) = C \frac{dV}{dt}. \quad (II.4)$$

Подстановка (II.3) и (II.4) в (II.2) дает

$$LC \frac{d^2V}{dt^2} + RC \frac{dV}{dt} + V = E_0 \cos \Omega t. \quad (II.5)$$

Разделим это уравнение на  $LC$  и введем обозначения:

$$\omega_0^2 = \frac{1}{LC}; \quad \beta = \frac{R}{2L}.$$

Обозначая дифференцирование по времени точкой, получим дифференциальное уравнение

$$\ddot{V} + 2\beta \dot{V} + \omega_0^2 V = E_0 \omega_0^2 \cos \Omega t. \quad (II.6)$$

Его решение дает закон изменения напряжения на конденсаторе с течением времени и равно сумме полного решения однородного уравнения (II.7) и частного решения уравнения (II.6):

$$\ddot{V} + 2\beta \dot{V} + \omega_0^2 V = 0. \quad (II.7)$$

Однородное уравнение (II.7) имеет решение

$$V_1 = V_{10} e^{-\beta t} \cos \omega t, \quad (\text{II.8})$$

являющееся уравнением затухающих колебаний (см. лабораторную работу ФПЭ-10). Затухание определяется членом  $e^{-\beta t}$ . За время  $t = \frac{1}{\beta}$  амплитуда колебаний уменьшится в  $e$  раз. Затухание в колебательном контуре связано с превращением энергии колебаний в джоулево тепло в сопротивлении  $R$ . При  $t \gg \frac{1}{\beta}$  составляющая  $V_1$  решения уравнения (II.6) исчезнет, следовательно, она отражает переходный процесс, определенный начальными условиями и параметрами контура. Установившиеся колебания в цепи происходят с частотой  $\Omega$  и возможным сдвигом по фазе. Поэтому решение ищут в виде

$$V = V_0 \cos(\Omega t + \varphi), \quad (\text{II.9})$$

где  $V_0$  и  $\varphi$  подлежат определению.

Подстановка (II.9) в (II.6) дает:

$$V_0 = \frac{E_0 \omega_0^2}{\sqrt{(\omega_0^2 - \Omega^2)^2 + 4\beta^2 \Omega^2}}; \quad (\text{II.10})$$

$$\operatorname{tg} \varphi = - \frac{2\beta \Omega}{\omega_0^2 - \Omega^2}. \quad (\text{II.11})$$

Таким образом, амплитуда и фаза напряжения на конденсаторе зависят от соотношения частоты источника ЭДС  $\Omega$  и частоты  $\omega_0$ .

Ток в контуре  $I = C \frac{dV}{dt} = -C \Omega V_0 \sin(\Omega t + \varphi) = I_0 \cos(\Omega t + \varphi_1)$ ,

где  $\varphi_1 = \varphi + \pi/2$ . Амплитуда тока в контуре также зависит от соотношения частот  $\Omega$  и  $\omega_0$ :

$$I_0 = \frac{E_0 C \omega_0^2 \Omega}{\sqrt{(\omega_0^2 - \Omega^2)^2 + 4\beta^2 \Omega^2}}. \quad (\text{II.12})$$

График зависимости  $I_0$  от  $\Omega/\omega_0$  представлен на рис. II.2.

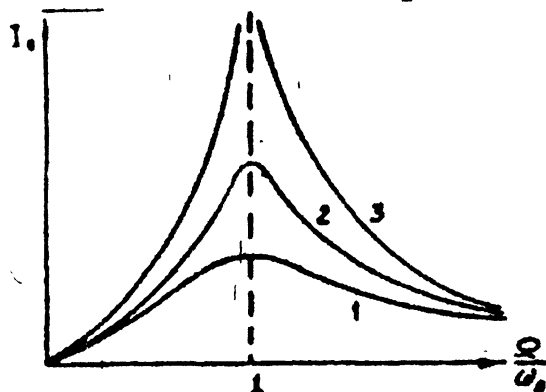


Рис. II.2

Из графика видно, что амплитуда тока резко возрастает при приближении циклической частоты  $\Omega$  источника ЭДС к частоте  $\omega_0$ . Это явление называется резонансом, а кривые — резонансными кривыми. Величина максимума зависит от  $\beta$ : при  $\beta = 0$   $I_{0m} \rightarrow \infty$  (кривая 3); при увеличении  $\beta$  максимальное значение  $I_{0m}$  уменьшается (кривые 2 и 1),  $\varphi_1$  определяет разность фаз колебаний тока в контуре и внешней ЭДС:

$$\operatorname{tg} \varphi_1 = \operatorname{tg} \left( \frac{\pi}{2} + \varphi \right) = - \frac{1}{\operatorname{tg} \varphi} = - \frac{\omega_0^2 - \Omega^2}{2\beta\Omega}. \quad (\text{II.13})$$

График зависимости  $\varphi_1$  от частоты представлен на рис. II.3.

Кривые 1 и 2 соответствуют разным значениям  $\beta$ . При  $\omega_0 = \Omega$

$$\operatorname{tg} \varphi_1 = 0 \quad \text{и} \quad \varphi_1 = 0.$$

Величина  $Q = \frac{\omega}{2\beta}$ , где  $\omega = \sqrt{\omega_0^2 - \beta^2}$ , называется добротностью колебательного контура. Добротность контура связана с остротой резонансных кривых. Найдем ширину резонансной кривой на высоте (рис. II.4).

$$I_0 = \frac{I_{0m}}{\sqrt{2}}.$$

Из формулы (II.12) следует, что максимальное значение тока

$$I_{0m} = \frac{E_0 C \omega_0^2}{2\beta}, \quad \text{а}$$

$$I_0 = \frac{2\beta\Omega I_{0m}}{\sqrt{(\omega_0^2 - \Omega^2)^2 + 4\beta^2\Omega^2}}. \quad (\text{II.14})$$

При  $I_0 = I_{0m} / \sqrt{2}$  формула (II.14) запишется

$$\frac{1}{\sqrt{2}} = \frac{2\beta\Omega}{\sqrt{(\omega_0^2 - \Omega^2)^2 + 4\beta^2\Omega^2}}. \quad (\text{II.15})$$

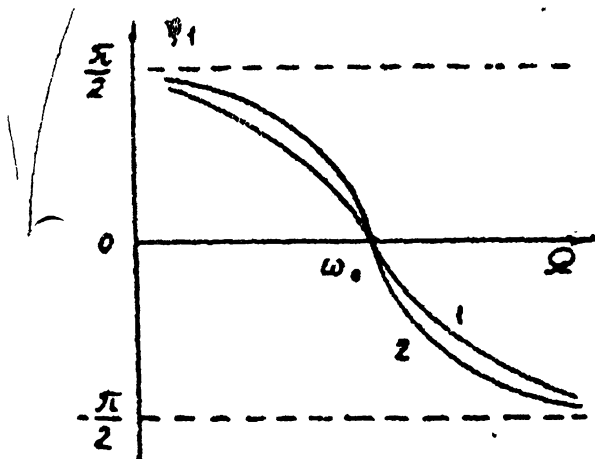


Рис. II.3

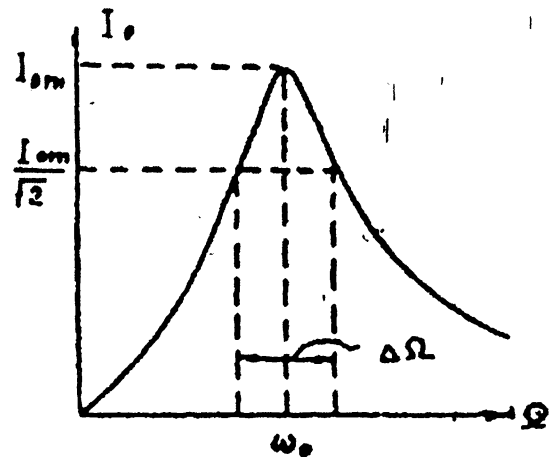


Рис. II.4

Выражение (II.15) можно преобразовать к виду  $2\beta\Omega = \omega_0^2 - \Omega^2$  или  $2\beta\Omega = (\omega_0 - \Omega)(\omega_0 + \Omega)$ . Величина  $\omega_0 - \Omega = \frac{\Delta\Omega}{2}$ , а вблизи резонанса  $\omega_0 \approx \Omega$ . После подстановки получим  $\Delta\Omega = 2\beta$ :

$$\frac{\Delta\Omega}{\omega_0} = \frac{2\beta}{\omega_0} \approx \frac{1}{Q}. \quad (\text{II.16})$$

При малом затухании  $\beta \ll \omega_0$  и  $\omega \approx \omega_0$  относительная ширина резонансной кривой численно равна величине обратной добротности контура.

Если известны параметры контура, добротность может быть рассчитана по соотношению

$$Q \approx \frac{\omega_0}{2\beta} = \frac{1}{R} \sqrt{\frac{L}{C}} . \quad (\text{II.16a})$$

### ОПИСАНИЕ МЕТОДИКИ ИЗМЕРЕНИЙ

Содержанием работы является изучение резонанса в последовательной цепи  $RCL$ . Принципиальная электрическая схема лабораторной установки приведена на рис. II.5.

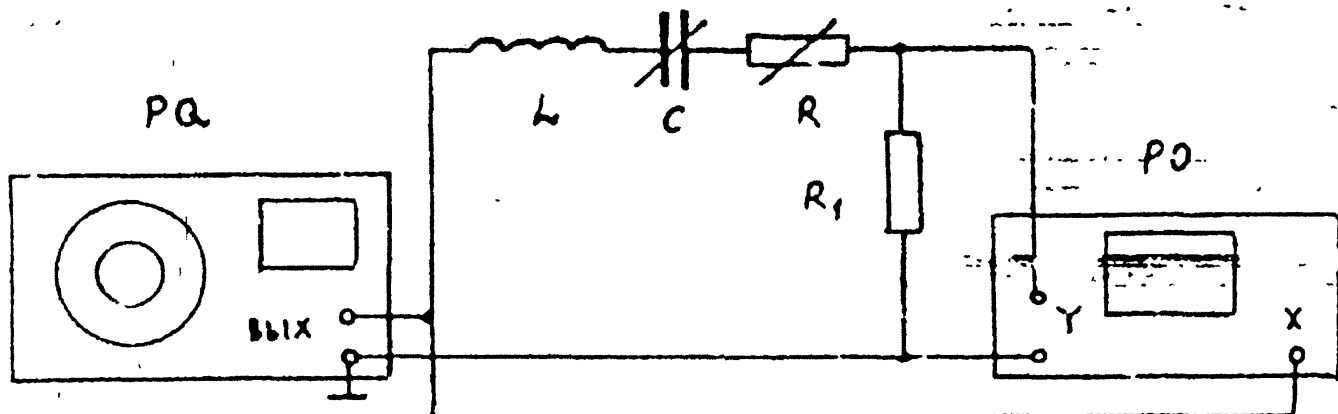


Рис. II.5

Колебательный контур состоит из катушки  $L$ , магазина емкостей  $C$ , переменного сопротивления  $R$  и сопротивления  $R_1$ . Напряжение на сопротивлении  $R_1$ , пропорциональное току в контуре, подается на вход  $Y$  электронного осциллографа. Для снятия резонансных кривых, изменяя частоту звукового генератора  $PQ$ , определяют зависимость  $I_0 = f(\Omega)$  при различных сопротивлениях контура  $R$ .

Для измерения сдвига фаз  $\varphi$ , можно использовать фигуры Лиссажу, получаемые на экране осциллографа. Пусть имеются два синусоидальных напряжения одинаковой частоты  $\Omega$ . Подадим эти напряжения на вертикальные и горизонтальные пластины осциллографа. Смещение луча под действием этих напряжений пропорционально напряжению и по горизонтали  $x = x_0 \sin \Omega t$ , а по вертикали  $y = y_0 \sin(\Omega t + \varphi)$ , где  $\varphi$  - сдвиг фаз между напряжениями;  $x_0$  и  $y_0$  - амплитуды смещения луча, пропорциональные амплитудам напряжения и коэффициентам усиления соответствующих каналов осциллографа. Исключив время, получим

$$\left(\frac{x}{x_0}\right)^2 + \left(\frac{y}{y_0}\right)^2 - \frac{2xy}{x_0 y_0} \cos \varphi = \sin^2 \varphi . \quad (\text{II.17})$$

Выражение (II.17) - уравнение эллипса, описываемого электронным лучом на экране осциллографа. Выберем коэффициенты усиления вертикального и горизонтального каналов осциллографа такими, чтобы  $x_0 = y_0$ . В этом случае

$$x^2 + y^2 - 2xy \cos \varphi = x_0^2 \sin^2 \varphi . \quad (\text{II.18})$$

Уравнение (II.18) - уравнение эллипса, оси которого составляют угол  $\frac{\varphi}{4}$  с осями координат. При  $\varphi = 0$  эллипс вырождается в прямую  $y = x$ , при  $\varphi = \frac{\pi}{2}$  - в круг радиуса  $x_0$ . Для точки М эллипса (рис. II.6)  $y = x$ , следовательно,  $a^2 - x^2 + y^2 = 2x^2$ , а уравнение (II.18) для этой точки примет вид:

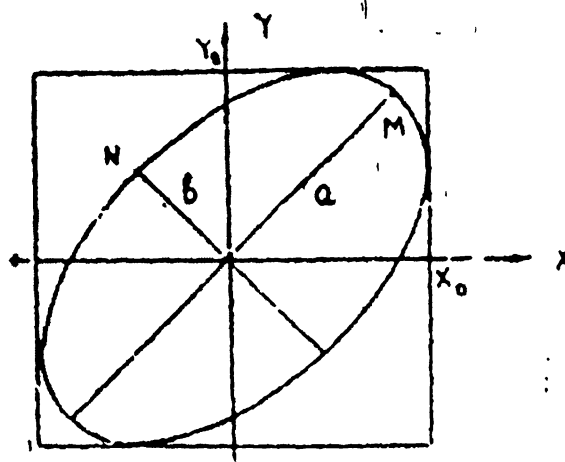


Рис. II.6

$$2x^2 - 2x^2 \cos \varphi = x_0^2 \sin^2 \varphi ;$$

$$2x^2 (1 - \cos \varphi) = x_0^2 \sin^2 \varphi ;$$

$$a^2 \cdot 2 \sin^2 \frac{\varphi}{2} = x_0^2 \cdot 4 \sin^2 \frac{\varphi}{2} \cos^2 \frac{\varphi}{2} ;$$

отсюда

$$a^2 = 2x_0^2 \cos^2 \frac{\varphi}{2} . \tag{II.19}$$

Аналогично для точки N эллипса (см. рис. II.6), где  $y = -x$ , получим

$$b^2 = 2x_0^2 \sin^2 \frac{\varphi}{2} . \tag{II.20}$$

Из выражений (II.19) и (II.20) получим

$$\operatorname{tg} \frac{\varphi}{2} = \frac{b}{a} . \tag{II.21}$$

Таким образом, для измерения сдвига фаз между напряжениями одинаковой частоты достаточно измерить полуоси  $a$  и  $b$  эллипса, вписанного в квадрат на экране осциллографа. При  $\varphi = 0$  эллипс вырождается в прямую, что позволяет по фигурам Лиссажу установить момент наступления резонанса. Для получения фигур Лиссажу на вход "Y" осциллографа (см. рис. II.5) подается напряжение с сопротивления  $R_1$ , пропорциональное току, а на вход "X" - напряжение со звукового генератора.

### ПРИБОРЫ И ОБОРУДОВАНИЕ

На рис. II.7 дана электрическая схема:

$PQ$  - звуковой генератор;  $PO$  - электронный осциллограф; ФПЭ-11 - модуль;  $MC$  - магазин сопротивлений;  $ME$  - магазин емкостей.

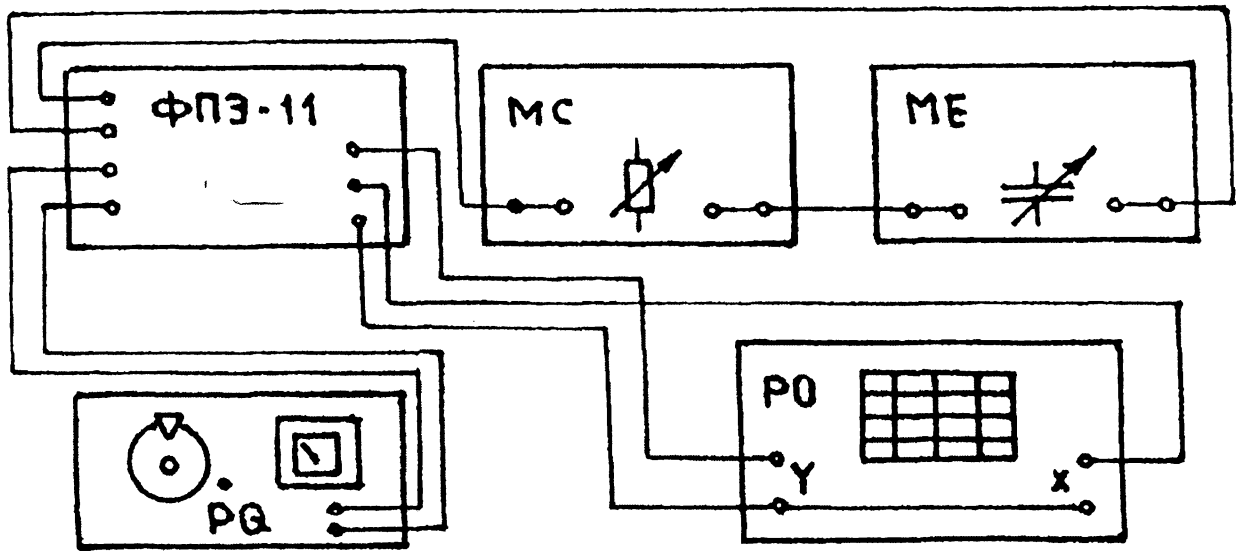


Рис. II.7

**ПОРЯДОК ВЫПОЛНЕНИЯ РАБОТЫ**

Собрать электрическую схему (рис. II.8): МС и МЕ – магазины сопротивлений и емкостей, собранные в отдельных модулях установки; ФПЗ-11 – модуль для изучения вынужденных колебаний в колебательном контуре; РQ – звуковой генератор; Р0 – осциллограф.

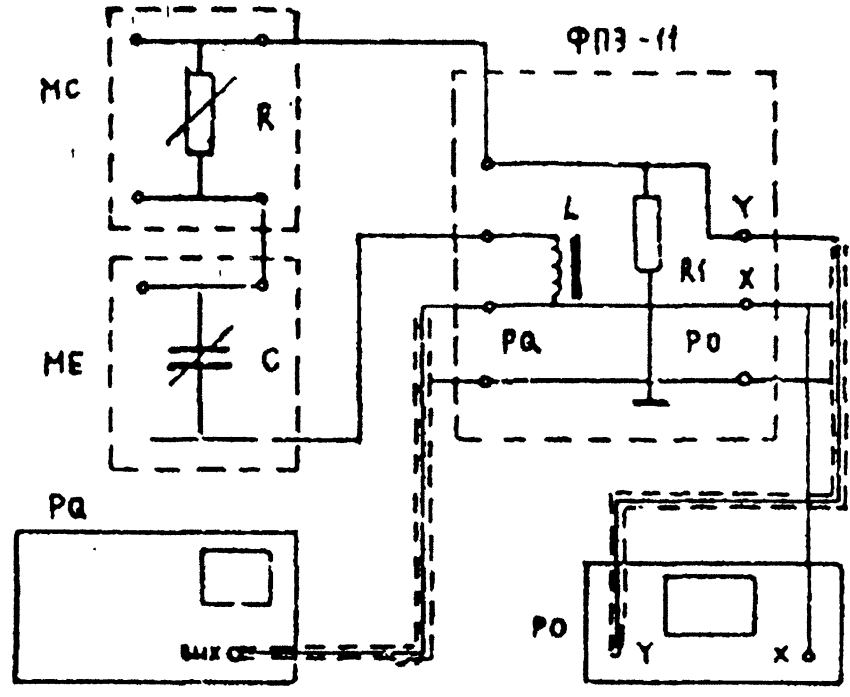


Рис. II.8

**Задание I. Снятие резонансных кривых**

1. Установить переключателями магазина емкостей  $C = 3 \cdot 10^{-9}$  мкФ и переключателями магазина сопротивлений  $R = 0$ .
2. Используя приблизительное значение индуктивности  $L = 100$  мГн, рассчитать резонансную частоту контура по формуле  $f_p = \frac{1}{2\pi\sqrt{LC}}$ .

3. Ознакомиться с работой звукового генератора и электронного осциллографа в режиме измерения амплитуды синусоидального напряжения и получения фигур Лиссажу.

4. Подготовить приборы к работе:

а) установить следующие параметры выходного напряжения звукового генератора: частота - 2 кГц, величина напряжения - до 1 В;

б) включить развертку электронного осциллографа с запуском от усилителя У и установить частоту развертки, удобную для наблюдения сигналов частотой 2-16 кГц;

в) усиление по оси У электронного осциллографа установить таким, чтобы было возможно измерять переменные напряжения до 1 В.

5. Включить лабораторный стенд и приборы. Напряжение звукового генератора установить равным 0,8 В. Это значение при всех измерениях в упражнении I поддерживать неизменным. Получить на экране осциллографа устойчивое изображение синусоиды. Измерить амплитуду синусоидального напряжения в вольтах. Результаты измерения записать в табл. II.1.

Т а б л и ц а II.1

$f$ , кГц									
$U_0$ , В									
$I_0$ , мА									

6. Измерить амплитуды при других частотах в диапазоне от 2 до 16 кГц. Частоту изменять с интервалом 1-2 кГц, вблизи резонанса (в пределах  $f \pm 1$  кГц) с интервалом 0,2 кГц.

Результаты измерений занести в табл. II.1.

7. Рассчитать амплитуду тока в колебательном контуре по формуле  $I_0 = \frac{U_0}{R_1}$ , где  $R_1$  - значение, указанное на модуле.

Расчет провести для каждого значения частоты, результаты вычислений записать в табл. II.1 в миллиамперах.

8. Установить сопротивление магазина  $R = 500$  Ом. Провести измерения (п. 5-7), результаты записать в таблицу.

9. Снять резонансную кривую (п. 5-7) при  $R = 3000$  Ом.

10. Построить на одном чертеже графики зависимостей  $I_0$  от  $f$ .

11. По графикам при  $R = 0$  и  $R = 500$  Ом найти ширину резонансной кривой  $\Delta f$  (см. рис. II.5) и рассчитать значения добротности контура по формуле  $Q \approx \frac{f_p}{\Delta f}$ .

Задание 2. Определение зависимости резонансной частоты от емкости C

1. Установить сопротивление  $R = 0$ , емкость  $C = 1 \cdot 10^{-3}$  мкФ.
2. Включить развертку осциллографа. На экране осциллографа наблюдать эллипс (см. рис. II.6). Изменяя частоту звукового генератора, добиться превращения эллипса в прямую, расположенную примерно под углом  $45^\circ$  к оси X. При необходимости изменять усиление усилителя Y. При этом частота звукового генератора равна резонансной частоте  $f_p$
3. Значения  $f_p$  и C записать в табл. II.2.
4. Привести измерения  $f_p$  (п. 2 и 3) при других значениях C от  $1 \cdot 10^{-3}$  до  $10 \cdot 10^{-3}$  мкФ с интервалом  $1 \cdot 10^{-3}$  мкФ.
5. Вычислить значения  $Z = \frac{1}{(2\pi f_p)^2}$  и построить график зависимости Z от C, который должен представлять собой прямую линию, проходящую через начало координат.

Т а б л и ц а II.2

$C \cdot 10^9, \Phi$									
$f_p, \text{кГц}$									
Z									

При построении графика следует учесть следующее. Точность значений емкостей, устанавливаемых на магазине емкостей, составляет 5%

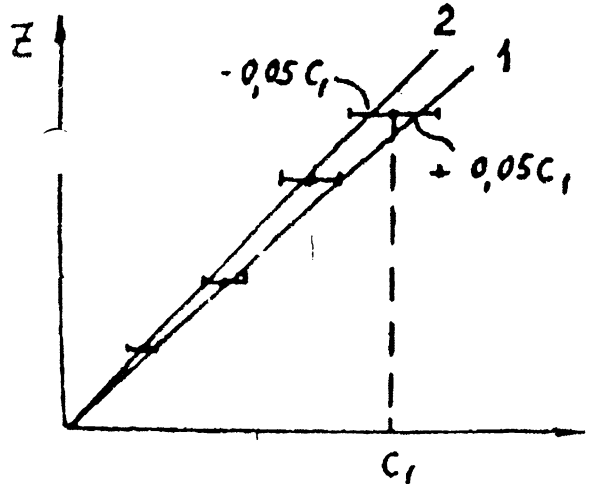


Рис. II.9

Поэтому на графике следует изобразить пределы, в которых известно данное значение C так, как показано на рис. II.9. Затем следует провести прямую, не выходящую за нижние границы C (прямая 1), и прямую, не выходящую за верхние границы (прямая 2). В этих пределах должна располагаться истинная зависимость  $Z = f(C)$

6. Рассчитать значение индуктивности катушки как тангено угла наклона прямых на графике  $Z = f(C)$

$$L = \frac{\Delta Z}{\Delta C} ; \quad L_{cp} = \frac{L_1 + L_2}{2}$$

Оцените погрешность определения L :

$$\delta = \frac{\Delta L}{L_{cp}} = \frac{L_2 - L_{cp}}{L_{cp}}$$

## КОНТРОЛЬНЫЕ ВОПРОСЫ

1. Выведите формулу зависимости амплитуды тока в колебательном контуре от частоты внешней ЭДС.
2. Выведите формулу для вычисления сдвига фаз с помощью фигур Лиссажу.
3. Что такое резонанс?
4. Что такое добротность колебательного контура?
5. Покажите, что резонанс токов наступает при частоте внешней ЭДС  $\Omega = \omega_0$ .

Литература: [1], гл. XIII; [4]; [3], гл. X.